

носительно малой сжимаемости ( $a > 0,9$ ) влияние влаго- и газонасыщенности среды на развитие сильного точечного взрыва обусловлено как изменением термодинамики среды, так и изменением сжимаемости на ударном фронте. Для больших сжатий ( $a < 0,85$ ) основным становится последний из названных механизмов. Таким образом, учет газо- и влагонасыщенности приводит к менее резкому спаду давления за ударным фронтом. Это непосредственно видно на фиг. 2, 3.

Несколько иной характер имеют зависимости  $\rho(\lambda)/\rho_2$ , изображенные на фиг. 4. В случае только твердого компонента плотность за ударным фронтом быстро спадает до начальной и затем остается практически неизменной, что хорошо согласуется с известным фактом слабой сжимаемости вещества за ударным фронтом. С ростом влаго- и газонасыщенности среды спад плотности становится более плавным, среда остается сжатой даже далеко за фронтом ударной волны.

Описанная картина поведения давления, скорости, плотности ведет к увеличению удельной энергии среды за фронтом ударной волны, что приводит к более резкому затуханию самой ударной волны с расстоянием, т. е. к уменьшению пиков давлений с ростом содержания воды и газа на одинаковых расстояниях от точки взрыва. Математически это вытекает из вида кривых на фиг. 3, 4 и формулы (9), отражающей закон сохранения энергии взрыва  $E_0$ . Согласно (9), параметр  $\alpha$  с ростом содержания воды и газа резко возрастает, и эффективная энергия взрыва  $E$  падает, так как из (2)  $E = E_0/\alpha$ .

Отметим, что полученные результаты качественно согласуются с выводами работы [6], авторы которой изучали задачу о расширении полости в многокомпонентной среде.

Авторы выражают благодарность Е. Е. Ловецкому за ряд полезных замечаний.

*Поступила 11 III 1977*

#### ЛИТЕРАТУРА

1. Седов Л. И. Методы подобия и размерности в механике. М., «Наука», 1972.
2. Коцина Н. Н., Мельникова Н. С. О сильном точечном взрыве в сжимаемой среде.— ПММ, 1958, т. XXII, вып. 1.
3. Ляхов Г. М. Основы динамики взрывных волн в грунтах и горных породах. М., «Недра», 1974.
4. Ляхов Г. М., Охитин В. Н., Чистов А. Г. Ударные волны в грунтах и в воде вблизи от места взрыва.— ПМТФ, 1972, № 3.
5. Кривцов В. А. Уравнение сжатия водонасыщенного песка и границы его применимости.— ПМТФ, 1974, № 4.
6. Ляхов Г. М., Охитин В. Н. Сферические взрывные волны в многокомпонентных средах.— ПМТФ, 1974, № 2.

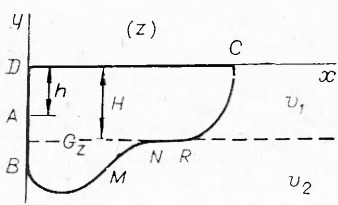
УДК 624.131 + 539.215

#### ОПРЕДЕЛЕНИЕ ВЫЕМКИ ВЫБРОСА ПРИ ВЗРЫВЕ ЗАГЛУБЛЕННОГО ШНУРОВОГО ЗАРЯДА В ДВУХСЛОЙНОЙ СРЕДЕ

*Н. Б. Ильинский, А. В. Поташев*

(Казань)

В работе [1] в импульсно-гидродинамической постановке исследованы два частных случая задачи об определении выемки выброса при взрыве шнурowego заряда в двухслойной среде. Ниже эта задача решается при более общих предположениях.



Фиг. 1

Пусть грунт состоит из двух слоев одинаковой плотности, отличающихся величиной критической скорости. Верхний слой толщины  $H$  характеризуется критической скоростью  $v_1$ , нижний слой неограниченной толщины имеет критическую скорость  $v_2$ . На глубине  $h$  от поверхности грунта помещен шнуровой заряд, моделируемый в вертикальной плоскости источником мощности  $2q$ . Требуется определить границу выемки выброса, считая ее линией тока и принимая за ней в верхнем слое  $v = v_1$ , а в нижнем —  $v = v_2$ , где  $v$  — величина скорости. Заметим, что в отличие от твердо-жидкостной модели взрыва (см., например, [2, 3]) в данной работе, как и в [1], условие  $v > v_0$  ( $v_0$  — величина критической скорости) в области движения не накладывается. Схемы выброса рассматриваются лишь такие, в которых точка разветвления границы выемки выброса лежит ниже линии раздела слоев. В зависимости от соотношения критических скоростей  $v_1$  и  $v_2$  изучим два варианта.

*Вариант 1.* Пусть  $v_1 < v_2$ . Соответствующая схема выемки выброса изображена на фиг. 1 (в силу симметрии относительно оси  $y$  показана лишь правая половина выемки выброса; эта область обозначена через  $G_z$ , а ее граница  $ABMNRCDA$  — через  $\Gamma_z$ ). Заметим, что условие  $|y_0| \geq H$  ( $y_0$  — значение  $y$  в точке  $B$ ) заведомо будет выполнено, если  $h \geq H$ . Исходными параметрами задачи являются  $q$ ,  $h$ ,  $H$ ,  $v_1$ ,  $v_2$ . Введем безразмерные переменные соотношениями

$$(1) \quad z^* = z/H, \quad w^* = w/q, \quad v^* = vH/q,$$

где  $z = x + iy$  — физическая плоскость;  $w(z) = \varphi + i\psi$  — комплексный потенциал течения. Тогда решение будет зависеть лишь от трех параметров

$$h^* = h/H, \quad v_1^* = v_1 H/q, \quad v_2^* = v_2 H/q,$$

так как  $H^* = 1$ ,  $q^* = 1$ . В дальнейшем индекс \* у безразмерных переменных ради простоты будем опускать.

Описанная задача сводится к следующей краевой задаче: определить неизвестные участки границы  $\Gamma_z$ , области  $G_z$  так, чтобы аналитическая в  $G_z$  и непрерывная в  $\bar{G}_z$  (кроме точки  $A$ ) функция  $w(z) = \varphi(x, y) + i\psi(x, y)$  удовлетворяла на  $\Gamma_z$  условиям:

$$(2) \quad \varphi = 0 \text{ на } DC, \quad \psi = 0 \text{ на } ABMNRC, \quad \psi = 1 \text{ на } AD;$$

$$(3) \quad \partial\varphi/\partial s = v_1 \text{ на } RC, \quad \partial\varphi/\partial s = v_2 \text{ на } BMN,$$

где  $s$  — дуговая абсцисса точки границы  $\Gamma_z$ . В точке  $A$  функция  $w(z)$  должна иметь логарифмическую особенность.

В плоскости  $w$  с учетом условия (2) решению будет соответствовать полуполоса  $G_w$  (фиг. 2, a), причем параметр  $\varphi_0$  (значение  $\varphi$  в точке  $B$ ) не определен. Введем функцию

$$(4) \quad \chi = i \ln \left( \frac{1}{v_2} \frac{dw}{dz} \right) = \theta + iS,$$

где  $\theta$  — угол наклона вектора скорости к оси  $x$ ;  $S = \ln(v/v_2)$ . В плоскости  $\chi$  с учетом условия (3) решению будет соответствовать область  $G_\chi$

(фиг. 2, б); соответственные точки в различных плоскостях обозначены одними и теми же буквами. Параметры  $S_0$  (значение  $S$  в точке  $D$ ) и  $\theta_0$  (значение  $\theta$  в точке  $M$ ) не определены,  $S_1 = \ln(v_1/v_2)$ .

Заметим, что предположением о существовании точки перегиба на границе выемки  $BN$  допущено в области  $G_z$  вблизи участка  $MN$  появление  $v < v_2$ . В самом деле, наличие точки перегиба  $M$  приводит к появлению участка  $MN$  границы  $\Gamma_z$  (обозначим его  $\gamma_z$ ), вогнутого внутрь области, т. е. такого, на котором  $\partial\theta/\partial s \leq 0$ . Тогда, рассмотрев аналитическую вблизи  $\gamma_z$  функцию

$\ln \frac{dw}{dz}(z) = \ln v - i\theta$ , по условиям Коши—Римана  $\partial \ln v / \partial n = -\partial(-\theta) / \partial s$  ( $n$  — внутренняя нормаль к  $\gamma_z$ ) получим  $\partial v / \partial n \leq 0$ . Следовательно, в  $G_z$  имеется область, прилегающая к  $\gamma_z$ , в которой  $v < v_2$ . Сказанное видно из фиг. 2, б: в любой точке вблизи участка  $MN$  области  $G_\chi$  имеем  $S < 0$ , т. е.  $v < v_2$ .

Выбрав в качестве канонической области полуплоскость  $\operatorname{Im} \zeta > 0$  ( $\zeta = \xi + i\eta$ ), отобразим ее конформно на область  $G_w$  функцией

$$(5) \quad w = i \left( \frac{1}{2} + \frac{1}{\pi} \arcsin \zeta \right),$$

при этом точкам  $A, B, M, N, R, C, D$  соответствуют точки  $\pm\infty, b, m, n, r-1, 1$  оси  $\xi$ , причем  $-\infty < b < m \leq n < r \leq -1$ . Затем отобразим эту полуплоскость на область  $G_\chi$  интегралом Кристоффеля — Шварца

$$(6) \quad \chi = i \int_b^{\xi} \frac{(\tau - m) d\tau}{V(\tau - b)(\tau - n)(\tau - r)(\tau + 1)} - \frac{\pi}{2}.$$

Заметим, что коэффициент перед интегралом равен  $i$  вследствие того, что  $\operatorname{Re} \chi(\zeta)$  в точке  $\zeta = \infty$  терпит скачок, равный  $\pi$ .

Дифференцируя функцию (5) и используя соотношения (4), (6), найдем

$$(7) \quad z = \frac{1}{\pi v_2} \int_1^{\xi} \exp \left[ - \int_b^{\tau} \frac{(\tau - m) d\tau}{V(\tau - b)(\tau - n)(\tau - r)(\tau + 1)} \right] \frac{d\zeta}{\sqrt{1 - \zeta^2}}.$$

В полученное выражение для  $z(\zeta)$  входят четыре параметра  $(m, n, r, b)$ , для отыскания которых имеем систему нелинейных уравнений

$$(8) \quad \operatorname{Re} \chi(n) = 0, \quad \operatorname{Im} \chi(r) = S_1;$$

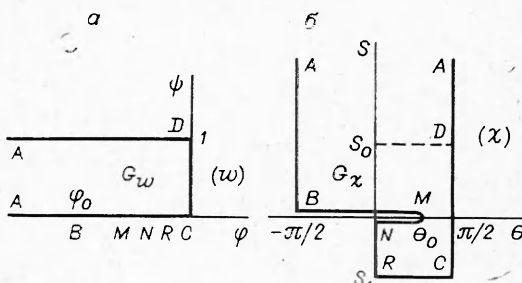
$$(9) \quad \operatorname{Im} z(r) = -1, \quad \operatorname{Im} z(\infty) = -h.$$

Величины  $\theta_0$  и  $S_0$  определяются из соотношений

$$(10) \quad \theta_0 = \operatorname{Re} \chi(m), \quad S_0 = \operatorname{Im} \chi(1).$$

Частным случаем рассмотренного варианта является случай, когда  $v_1 = 0$ . При этом в плоскости  $\zeta$  будем иметь  $r = -1$ .

Учитывая, что функция  $\operatorname{Re} \chi(\zeta)$  в точке  $\zeta = -1$  терпит скачок, равный  $\pi/2$ , а функция  $\operatorname{Im} z(\zeta)$  в этой же точке терпит скачок, равный



Фиг. 2

1, соответственно получим

(11)

$$-m = 1 + \frac{1}{2} \sqrt{(1+b)(1+n)}, \quad v_2 = \frac{\sqrt{-1-b} - \sqrt{-1-n}}{\sqrt{-1-b} + \sqrt{-1-n}} \sqrt{\frac{2(1+b)(1+n)}{n-b}}.$$

Добавив к соотношениям (11) условие  $\operatorname{Im} z(\infty) = -h$ , будем иметь систему уравнений для определения параметров  $m, n, b$ .

*Вариант 2.* Пусть  $v_1 > v_2$ . Схема выемки выброса и соответствующая ей область в плоскости  $\chi$  изображены соответственно на фиг. 3, а, б. Область в плоскости  $w$  имеет при этом такой же вид, как и в первом варианте (см. фиг. 2, а). Отображение полуплоскости  $\operatorname{Im} \zeta > 0$  (в данном случае  $-\infty < b \leq n < r < m \leq -1$ ) на области  $G_w$  и  $G_\chi$  осуществляется соответственно функциями (5), (6), а на область  $G_z$  — функцией (7). Для отыскания параметров  $n, r, m, b$  имеем систему уравнений

$$(12) \quad \operatorname{Re} \chi(n) = \pi, \quad \operatorname{Im} \chi(r) = S_1;$$

$$(13) \quad \operatorname{Im} z(r) = -1, \quad \operatorname{Im} z(\infty) = -h.$$

Величины  $\theta_0$  и  $S_0$  определяются из соотношений (10).

Частным случаем этого варианта, исследованным в работе [1], является случай, когда  $v_2 = 0$ . В плоскости  $\zeta$  имеем  $n = b$ .

Отображение полуплоскости  $\operatorname{Im} \zeta > 0$  на область  $G_z$  осуществляется в этом случае функцией

$$z = \frac{1}{\pi v_1} \int_{-1}^{\zeta} \exp \left[ - \int_{-1}^{\tau} \frac{(\tau - m) d\tau}{(\tau - b) \sqrt{(\tau + 1)(\tau - r)}} \right] \frac{d\zeta}{\sqrt{1 - \zeta^2}}.$$

Учитывая, что  $\operatorname{Re} \chi(\zeta)$ , где  $\chi = i \ln \left( \frac{1}{v_1} \frac{dw}{dz} \right)$ , в точке  $\zeta = b$  терпит скачок, равный  $3\pi/2$ , имеем

$$(14) \quad m = (3/2) \sqrt{(b - r)(b + 1)} + b.$$

Добавив к соотношению (14) условия

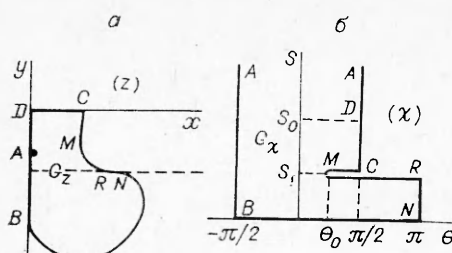
$$\operatorname{Im} z(r) = -1, \quad \operatorname{Im} z(\infty) = -h,$$

получим систему уравнений для определения параметров  $b, r, m$ .

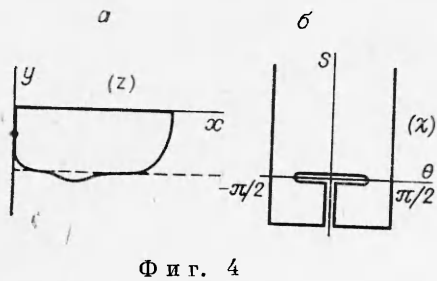
*Числовые расчеты.* При получении числовых результатов применялся полуобратный метод, суть которого заключается в следующем. Задавая значения  $\Phi_0$  (и, следовательно,  $b$ ),  $S_1$ ,  $\theta_0$ , из уравнений (8) (для второго варианта соответственно (12)) и первого из соотношений (10) отыскивали величины  $m, n, r$ . Затем по первому из уравнений (9) (соответственно (13)) определялось значение  $v_1$  (и, следовательно, по известному  $S_1 - v_2$ ),

а из второго —  $-h$ . Подставляя полученные значения в (7), отыскивали неизвестные участки границы  $\Gamma_z$ .

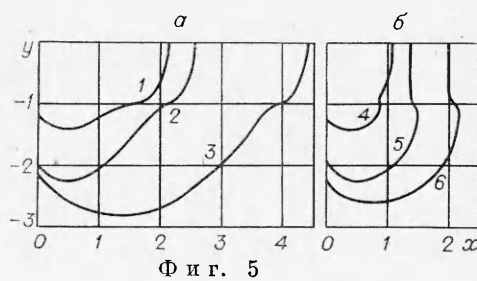
Так как в полуобратной постановке размеры области  $G_\chi$  полностью известны, то в качестве одного из простейших методов отыскания параметров  $m, n, r$  использовался метод ЭГДА [4]. Но найденные с его помощью значения параметров имеют некоторую погрешность, поэтому их величины



Фиг. 3



Фиг. 4



Фиг. 5

уточнялись следующим образом. Исключая из уравнений (8) (соответственно (12)) величину  $t$  и считая, что параметр  $n$  методом ЭГДА определен точно, отыскивали значение  $r$ . Затем по первому из уравнений (8) (соответственно (12)) определялась величина  $t$ , после чего по первому из соотношений (10) уточнялось значение  $\theta_0$ .

При построении области  $G_x$  считалось, что имеет место условие

$$(15) \quad \operatorname{Im} z(b) \leq -1.$$

Если данное условие не выполняется, то меняется вид выемки выброса и соответственно области в плоскости  $\chi$  (для первого варианта вид указанных областей приведен на фиг. 4). Поэтому при решении задачи в полуобратной постановке после получения значений параметров необходимо убедиться в выполнении условия (15).

Описанным способом на ЭВМ М-222 была проведена серия расчетов. Программа составлялась на входном языке транслятора ТА-1М. Наиболее интересные из полученных результатов для случаев  $S_1 = -3\pi/10$  и  $S_1 = 3\pi/10$  приведены соответственно на фиг. 5, а, б.

В примерах 1 и 3, 5 и 6 показаны выемки выброса, образующиеся при взрыве одинаково расположенных зарядов различной мощности. Примеры 1 и 2, 4 и 5 соответствуют различному заглублению зарядов одинаковой мощности. Соответствующие значения величин  $v_1$ ,  $v_2$ ,  $h$  и длины  $l$  участка  $RN$  границы  $\Gamma_z$  для упомянутых шести примеров приведены в табл. 1.

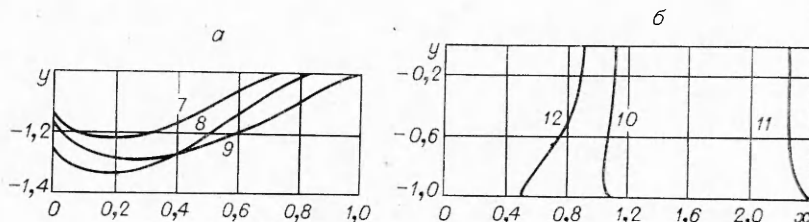
На фиг. 6, а, б приведены результаты расчетов шести примеров для частных случаев  $v_1 = 0$  и соответственно  $v_2 = 0$ . Значения  $v_1$ ,  $v_2$ ,  $h$  указаны в табл. 2. Так же, как и выше, примеры 7 и 9, 10 и 11 соответствуют

Таблица 1

Номер примера, указанного на фиг. 5	1	2	3	4	5	6
$v_1$	0,16	0,16	0,031	0,63	0,63	0,41
$v_2$	0,42	0,42	0,079	0,25	0,25	0,16
$h$	0,91	1,76	0,91	0,81	1,53	1,53
$l$	0,107	0,047	0,038	0,0057	0,0057	0,0057

Таблица 2

Номер примера, указанного на фиг. 8	7	8	9	10	11	12
$v_1$	0	0	0	0,75	0,28	0,75
$v_2$	1,21	1,21	0,81	0	0	0
$h$	1	1,14	1	1	1	0,65



Ф и г. 6

одинаково расположенным зарядам различной мощности, а примеры 7 и 8, 10 и 12 — различному заглублению зарядов одинаковой мощности.

Из приведенных результатов можно сделать выводы.

1. Для случая  $v_1 < v_2$  явно прослеживается участок на линии раздела сред; при  $v_1 > v_2$  этот участок выражен менее явно.

2. С уменьшением прочности грунта при одинаковом расположении заряда, что в размерных переменных (с учетом (1)) соответствует увеличению мощности заряда при одном и том же грунте, размеры выемки выброса увеличиваются как по ширине, так и по глубине. Следует отметить, что увеличение ширины выемки происходит при этом за счет нижнего слоя.

3. Для одинаковых значений критических скоростей размеры выемки выброса с увеличением заглубления заряда увеличиваются. Причем увеличение полуширины происходит при этом лишь до некоторого предела. Для случая однородного грунта, характеризующегося критической скоростью  $v_0$ , как следует из результатов работы [3], этот предел при  $h \rightarrow \infty$  равен  $2q/v_0$  (величины  $h$ ,  $q$ ,  $v_0$  размерные).

Поступила 21 III 1977

#### ЛИТЕРАТУРА

- Поляк Э. Б., Шер Е. Н. О форме воронки выброса при взрыве шнурового заряда в двухслойной среде.— ПМТФ, 1973, № 2, с. 143—146.
- Кузнецов В. М. О форме воронки выброса при взрыве на поверхности грунта.— ПМТФ, 1960, № 3, с. 152—156.
- Кузнецов В. М., Поляк Э. Б. Импульсно-гидродинамические схемы взрыва на выброс шнуровых зарядов.— ФТПРПИ, 1973, № 4, с. 32—39.
- Фильчаков П. Ф. Определение констант интеграла Кристоффеля — Шварца при помощи моделирования на электропроводной бумаге.— УМЖ, 1961, т. 13, № 1, с. 72—79.

УДК 539.374 : 534.1

#### РАСПРОСТРАНЕНИЕ ДВУМЕРНОЙ ПЛАСТИЧЕСКОЙ ВОЛНЫ В СРЕДЕ С НЕЛИНЕЙНОЙ РАЗГРУЗКОЙ

*H. Мамадалиев, B. P. Молев  
(Москва)*

Рассматривается плоская стационарная задача о воздействии подвижной нагрузки на нелинейно-сжимаемую полуплоскость.

Случай линейного нагружения и разгрузки среды рассмотрен в работах [1, 2]. Причем полученное в работе [1] методом конформного отображения решение задачи имеет место в случае, когда скорость  $a_1$  распространения разгрузочных деформаций превышает скорость движения нагрузки. Эта задача без ограничений на скорость  $a_1$  методом интегрального преобразования Меллина для случая треугольной нагрузки решается в работе [2].